

زینال پور، عادل -۱۳۶۵	سرشناسه
هرنی - چاقی - طحال - سارکوم‌های بافت نرم - جدار شکم، امتنوم و صفاق: خلاصه درس به همراه مجموعه سوالات آزمون ارتقاء و بورد با پاسخ تشریحی و پیزه آزمونهای سال ۱۴۰۳	عنوان و نام پدیدآور
ترجمه و تلخیص عادل زینال پور؛ پاسخدهی به سوالات حامد قلیزاده... او دیگران.	مشخصات نشر
تهران: کاردیا، ۱۴۰۲.	مشخصات ظاهری
۹۷۸-۶۲۲-۵۶۰۳-۸۶-۸ ۴۷۵۰۰۰ فیبا	شابک
پاسخدهی به سوالات حامد قلیزاده، اشکان شهوردی، علی حاجی‌هاشمی، محمد مددی‌امامچای. کتاب حاضر برگرفته از کتاب "Schwartz's principles of surgery, 11th. ed, 2019" اندرسن ... او دیگران است.	وضعیت فهرست نویسی
جراحی Surgery فتق - جراحی Surgery – Hernia چاقی - جراحی Surgery – Obesity طحال - جراحی Surgery – Spleen شکم - جراحی Surgery – Abdomen جراحی -- آزمون‌ها و تمرین‌ها Surgery -- Examinations, questions, etc.	یادداشت
ویرایش و اضافه نمودن سوالات همراه با پاسخ تشریحی و حذف سوالات اضافه قلیزاده، حامد -۱۳۶۵ اندرسن، دینا کی. Andersen, Dana K.	موضوع
شوارتس، سیمور، ۱۹۲۸-- م. اصول جراحی شوارتز RD۳۱ ۶۱۷ ۹۰۹۶۴۸۵ فیبا	شناسه افزوده

شناسه افزوده	شناسه افزوده
شناسه افزوده	شناسه افزوده
شناسه افزوده	شناسه افزوده
ردۀ بندی کنگره	ردۀ بندی دیوبوی
شماره کتابشناسی ملی	اطلاعات رکورد
کتابشناسی	کتابشناسی

«هرنی - چاقی - طحال - سارکوم‌های بافت نرم - جدار شکم، امتنوم و صفاق» برگرفته از کتاب "Schwartzs 2019" است.
 نوبت چاپ: اول ۱۴۰۲
 تیراز: ۱۵۰ جلد
 پاسخدهی به سوالات: دکتر حامد قلیزاده، دکتر اشکان شهوردی، دکتر علی حاجی هاشمی، دکتر محمد مددی‌امامچای
 ناشر: انتشارات کاردیا
 صفحه آرا: رزیدنت یار
 طراح و گرافیست: رزیدنت یار

آدرس: تهران میدان انقلاب - کارگر جنوبی - خیابان روانمهر - بن بست دولتشاهی پلاک ۱ واحد ۱۸
 شماره تماس: ۰۲۱-۸۸۹۴۵۲۱۶ - ۰۲۱-۸۸۹۴۵۲۰۸ / www.residenttyar.com

هر گونه کپی‌برداری از این افر پیگرد قانونی دارد.

هرنی-چاقی-طحال

سارکوم های بافت نرم

جدار شکم، امتووم و صفاق

خلاصه درس به همراه

مجموعه سؤالات آزمون ارتقاء و بورد تخصصی ویژه آمادگی آزمون های ۱۴۰۳

Schwartzs 2019

ترجمه و تلخیص

دکتر عادل زینال پور قطار

استادیار و عضو هیئت علمی دانشگاه علوم پزشکی شهید بهشتی
رتبه دوم کشوری در آزمون بورد تخصصی جراحی عمومی سال ۱۳۹۷

پاسخدهی به سوالات

دکتر حامد قلیزاده

د درصد برتر تخصصی جراحی عمومی سال ۱۳۹۷
فلوشیپ جراحی درون بین از دانشگاه علوم پزشکی ایران
عضو هیئت علمی دانشگاه علوم پزشکی

دکتر اشکان شهوردی

عضو هیئت علمی دانشگاه علوم پزشکی

دکتر علی حاجی هاشمی ورنوفادرانی

بورد تخصصی جراحی عمومی

دکتر محمد مددی امامچای

متخصص جراحی عمومی



فهرست مطالب

۱۱	فصل ۳۷: هرنی
۵۷	مرور سریع هرنی
۵۹	سوالات و پاسخنامه فصل ۳۷
۷۹	فصل ۲۷: چاقی
۱۲۷	مرور سریع چاقی
۱۳۳	سوالات و پاسخنامه فصل ۲۷
۱۴۳	فصل ۳۴: طحال
۱۷۳	مرور سریع طحال
۱۷۷	سوالات و پاسخنامه فصل ۳۴
۱۸۳	فصل ۳۶: سارکوم‌های بافت نرم
۲۱۵	مرور سریع سارکوم‌های بافت نرم
۲۱۹	سوالات و پاسخنامه فصل ۳۶
۲۳۳	فصل ۳۵: جدار شکم، امتنوم و صفاق
۲۷۱	سوالات و پاسخنامه فصل ۳۵

هرنی

فصل ۳۷

Section37
Schwartzs 2019

آناتومی:

کانال اینگوینال از حلقه عمقی (داخلی) تا حلقه سطحی (خارجی) کشیده شده و ۴-۶ cm طول دارد.

حلقه عمقی: سوراخ فاشیا ترنسورسالیس در قسمت فوقانی خارجی لگن

حلقه سطحی: سوراخ مایل خارجی در قسمت تحتانی داخلی لگن

حدود کانال:

فوقانی: عضله مایل داخلی، تحتانی: لیگامان اینگوینال، قدامی: عضله مایل خارجی، خلفی: عضله و فاشیا ترنسورسالیس.

عناصری که از حلقه عمقی وارد کانال می‌شوند: کورد، شاخه ژنیتال عصب ژنیتوفمورال

عناصری که از حلقه سطحی از کانال خارج می‌شوند: کورد در مردان و لیگامان گرد رحمی در زنان، عصب ایلهواینگوینال و ژنیتوفمورال

کورد شامل: ۳ شریان، ۳ ورید، ۲ عصب، وریدهای پامپنی فورم و واژدفران است.

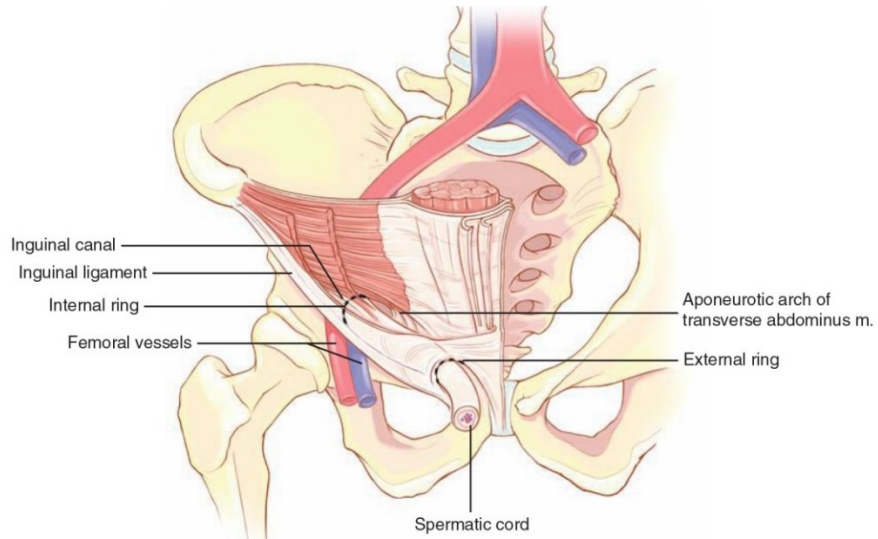


Figure 37-1. Location and orientation of the inguinal canal within the pelvic basin. Boundaries of the canal include: transversus abdominus and transversalis fascia posterior; internal oblique muscle superior; external oblique aponeurosis anterior; inguinal ligament inferior. m. = muscle.

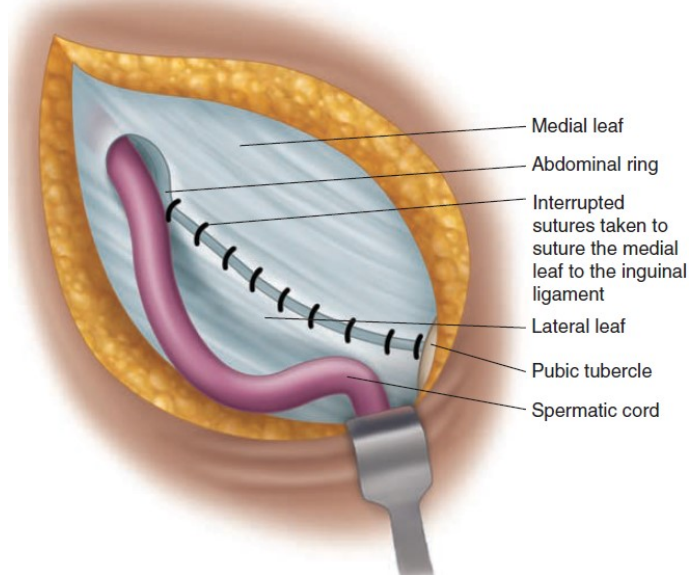


Figure 37-1. Location and orientation of the inguinal canal within the pelvic basin. Boundaries of the canal include: transversus abdominus and transversalis fascia posterior; internal oblique muscle superior; external oblique aponeurosis anterior; inguinal ligament inferior. m. = muscle.

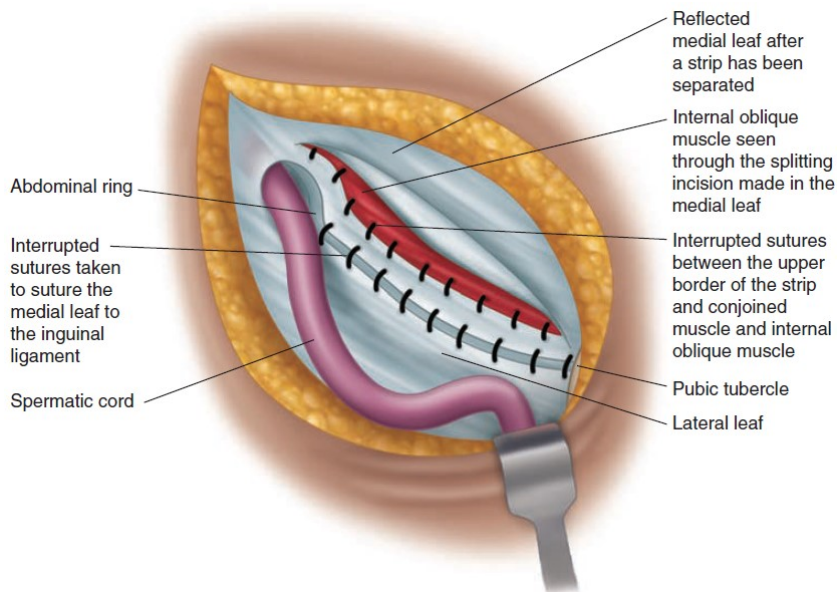


Figure 37-2. Ligaments that contribute to the inguinal canal include the inguinal ligament, Cooper's ligament, and the lacunar ligament. The iliopubic tract originates and inserts in a similar fashion to the inguinal ligament, but in a deeper position. m. = muscle.

ساختارهای مهم اطراف کanal اینگوینال:

۱. ایلئوپوبیک تراکت: نوار غشایی که از ASIS (خار خاصره قدامی فوقانی) شروع شده و از پایین به لیگامان کوپر ملحق می‌شود.
 - لبه شیبدار لیگامان اینگوینال محل اتصال لیگامان اینگوینال به ایلئوپوبیک تراکت است. در حقیقت مبدأ و مقصد ایلئوپوبیک تراکت و لیگامان اینگوینال یکی هستند ولی ایلئوپوبیک تراکت نسبت به لیگامان عمقی‌تر است.
۲. لیگامان لاکونار (زیمبریا): قسمت انتهای داخلی لیگامان اینگوینال به شکل بادبزنی در محل اتصال به تکمه پوبیس به عقب و خلف رفته و به خط پکتینه آل می‌چسبد و لبه داخلی حلقه فمورال را می‌سازد. حلقه فمورال: حلقه کوچک که لبه‌های آن عبارتند از: ایلئوپوبیک تراکت و لیگامان اینگوینال در قدام، لیگامان کوپر در خلف، لیگامان لاکونار در داخل و ورید فمورال در خارج. محل ایجاد هرنی فمورال از طریق این سوراخ است.

چاقی

فصل ۲۷

Section27

Schwartzs 2019

در سال ۲۰۱۴ شایع‌ترین اعمال جراحی چاقی به ترتیب گاسترکتومی اسلیو (SG) (۴۶٪)، RYGB (۴۰٪) و LAGB (۷٪) بوده است.

mekanisem‌های احتمالی برای عملکرد جراحی‌ها در درمان چاقی عبارتند از تغییرات گرلین، لپتین، GLP-1، CCK، PYY، فلور میکروبیال روده و اسیدهای صفراء. احتمالاً در آینده جراحی‌های چاقی دیگر بر اساس آناتومی مربوط به جراحی توصیف نمی‌شود بلکه بر اساس تغییرات فیزیولوژیک کلیدی تقسیم‌بندی خواهد شد.

بیماری چاقی:

میزان چاقی بر اساس شاخص توده بدنی (BMI) تقسیم می‌شود که در جدول زیر نشان داده شده است.

در مورد کودکان ۵ تا ۱۹ ساله اضافه وزن عبارتست از افزایش به میزان یک انحراف معیار از میانگین وزن و چاقی عبارتست از افزایش ۲ انحراف معیار بیش از میانگین استاندارد WHO. در کل علت اصلی چاقی عدم تعادل بین دریافت کالری و مصرف کالری است.



Table 27-1

The international classification of adult overweight and obesity according to body mass index (BMI)

CLASSIFICATION	BMI (kg/m^2)	
	PRINCIPAL CUTOFF POINTS	ADDITIONAL CUTOFF POINTS ^a
Normal range	18.50–24.99	18.50–22.99 23.00–24.99
Overweight	≥ 25.00	≥ 25.00
Preobese	25.00–29.99	25.00–27.49 27.50–29.99
Obese	≥ 30.00	≥ 30.00
Obese class I	30.00–34.99	30.00–32.49 32.50–34.99
Obese class II	35.00–39.99	35.00–37.49 37.50–39.99
Obese class III	≥ 40.00	≥ 40.00

^aFor Asian populations, classifications remain the same as the international classification, but public health action points for interventions are set at 23, 27.5, 32.5, and 37.5 kg/m^2 .

علل بروز چاقی:

علل محیطی و ژنتیکی در ایجاد آن نقش دارند.

میزان ارثی بودن BMI بالا در حد ۴۰–۷۰ درصد است.

نقص در گیرنده لپتین و ملانوکورتین ۴ که در تنظیم هموستاز انرژی نقش دارند، از علل ژنتیکی چاقی است.

جهش در ژن گیرنده ملانوکورتین ۴ شایع‌ترین علت چاقی مونوژنیک بوده و علت ۲ تا ۵ درصد چاقی شدید در کودکان است.

چاقی در کودکان به علت افزایش اندازه و تعداد سلول‌های چربی در اوایل زندگی است.

چاقی در بزرگسالی اغلب در نتیجه افزایش اندازه سلول‌های چربی است.

در مردان توزیع چربی بیشتر مرکزی و احشایی و در زنان بیشتر به صورت محیطی است.



توزیع مرکزی چربی ارتباط بیشتری با بیماری‌های متابولیک مثل دیابت، افزایش فشار خون و سندروم متابولیک دارد.

مشکلات پزشکی و اجتماعی:

افزایش BMI یک فاکتور خطر عمدۀ برای بیماری‌های قلبی عروقی، دیابت، آرتروز و سلطان‌ها (رحم، سینه، تخمدان، پروستات، کبد، کیسه صفرا، کلیه و کولون) است.

چاقی در کودکی احتمال مرگ زودرس (زیر ۴۰ سالگی) و ناتوانی در بزرگسالی را بیشتر می‌کند، همچنین در کودکان چاق آپنه انسدادی، خطر شکستگی، خطر خون، مشکلات قلبی عروقی زودهنگام، مقاومت به انسولین و اثرات روانشناختی بیشتر است.

بیماری‌های همراه و مرتبط با چاقی:

بیماری دژنراتیو مفصلی، کمردرد، فشار خون، آپنه انسدادی خواب، GERD، سنگ صفرا، دیابت نوع ۲، افزایش لپید خون، آسم، سندروم کاهش تهویه ریوی، نارسایی سمت راست قلب، میگرن، تومور کاذب مغز، زخم استاز وریدی، DVT، قارچ پوستی، آبسه پوستی، بی‌اختیاری استرسی ادراری، نازایی و قاعده‌گی دردناک، افسردگی و فتق دیواره شکم.

افزایش چربی احاطه کننده کلیه در چاقی می‌تواند با افزایش فشار خون ارتباط داشته باشد. در برخی افراد چاق بیش فعالی مزمن در سیستم عصبی سمپاتیک وجود دارد که در فرآیندهای پاتوفیزیولوژیک مثل فشار خون می‌تواند نقش داشته باشد.

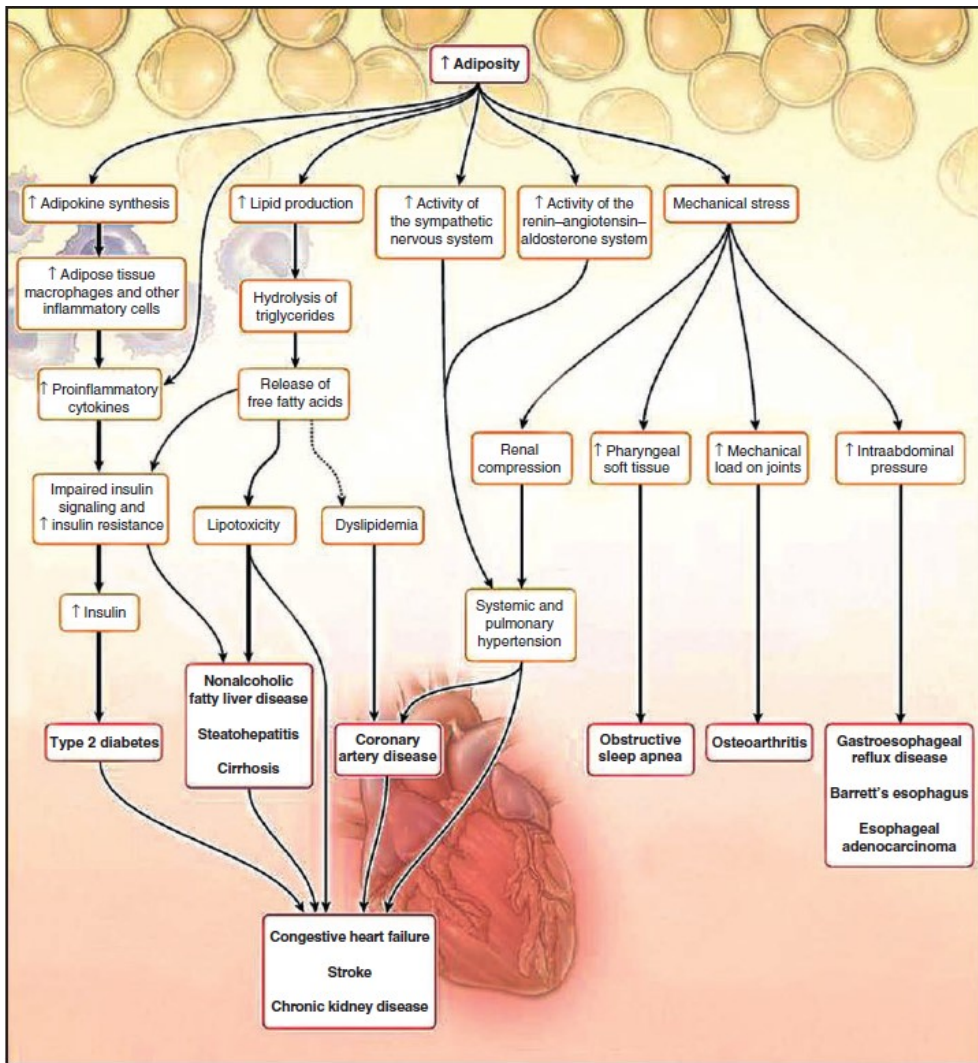


Figure 27-3. Pathways through which obesity leads to major risk factors and common chronic diseases. Common chronic diseases are shown in red boxes. The dashed arrows indicate an indirect association.

درمان چاقی:

۳ گزینه اصلی برای درمان وجود دارد: اصلاح شیوه زندگی، دارو درمانی، جراحی باریتریک.

طحال

فصل ۳۴

Section34
Schwartzs 2019

جنین شناسی و آناتومی:

بزرگترین ارگان رتیکولواندوتیال بدن است.
نقش مهمی در تولید سلول‌های خونی تا ماه پنجم بارداری دارد.

آناتومی:

شایع‌ترین ناهنجاری جنینی طحال، طحال فرعی است که ۸۰٪ موارد در ناف طحال و اطراف عروق آن است.
ساختمان مکان‌های طحال فرعی به ترتیب شیوع: لیگامان گاستروکولیک، دم پانکراس، امنتوом بزرگ، خم بزرگ معده، لیگامان اسپلنوکولیک، مزانتر روده، لیگامان پهنه سمت چپ، اسپرماتیک کورد در مردان.
میانگین وزن طحال در بالغین ۱۵۰ گرم (۷۰ تا ۲۵۰ گرم) و طول آن ۷-۱۱ سانتی‌متر است.

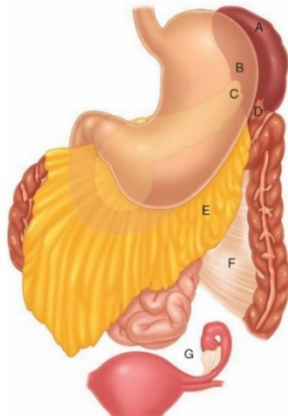


Figure 34-1. Sites where accessory spleens are found in order of importance. A. Hilar region, 54%; B. pedicle, 25%; C. tail of pancreas, 6%; D. splenocolic ligament, 2%; E. greater omentum, 12%; F. mesentery, 0.5%; G. left ovary, 0.5%.

لیگامان‌های طحال:

لیگامان اسپلنوکولیک، لیگامان گاسترواسپلنیک، لیگامان اسپلنوورنال، لیگامان فرنواسپلنیک.



در ۷۵٪ موارد دم پانکراس در فاصله ۱ cm از ناف طحال است و در ۳۰ درصد بیماران مماس با طحال است. لیگامان گاستروپلئوئیک حاوی عروق است ولی بقیه لیگامان‌ها به جز در موارد هیبرتانسیون پورت قادر عروق هستند.

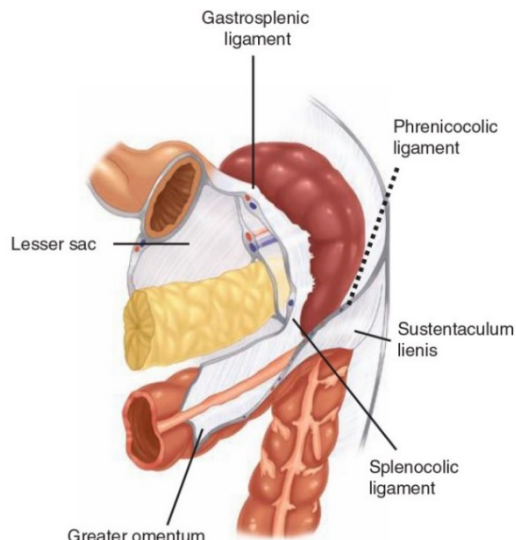


Figure 34-2. Suspensory ligaments of the spleen. (Data from Poulin EC, Thibault C. The anatomical b

خونرسانی طحال:

۱. شریان طحالی:

- نوع distributed (۷۰٪ موارد): با تنہ کوتاه و شاخه‌های بلند که وارد سه چهارم سطح داخلی طحال می‌شود.
- نوع marginal (۳۰٪ موارد): دارای تنہ اصلی طولانی بوده و نزدیک ناف طحال به شاخه‌های انتهایی کوتاه منشعب می‌شود.

۲. عروق گاستریک کوتاه: شاخه‌های شریان گاسترولیپلئوئیک چپ بوده و درون لیگامان گاسترواسپلینیک قرار دارند. تخلیه وریدی طحال: از طریق ورید طحالی و پورت است.



فیزیوپاتولوژی:

طحال یک کپسول با ضخامت ۱-۲ میلی‌متر دارد.

جریان خون ورودی کلی طحال تقریباً $250\text{-}300 \text{ mL/min}$ است.

طحال محل اصلی پاکسازی گلوبول‌های قرمز بوده و تا حدی در حذف گلوبول‌های سفید و پلاکت‌های غیرطبیعی خون نقش دارد.

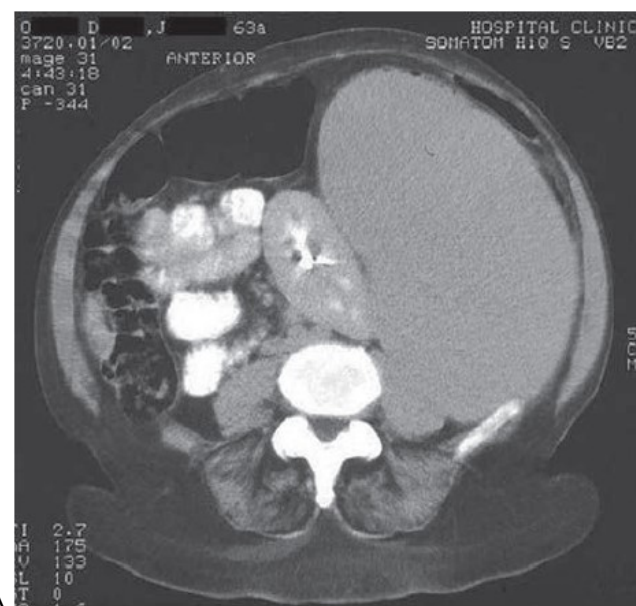
پالپ قرمز طحال به ماکروفازها امکان حذف میکروارگانیسم، بقایای سلولی، کمپلکس آنتیژن - آنتی‌بادی و اریتروسیت‌های پیر را می‌دهد.

دو روز از چرخه ۱۲۰ روزه گلوبول‌های قرمز در طحال گذرانده می‌شود.

از نقش‌های دیگر طحال: خونسازی خارج مغز استخوان در صورت لزوم و تولید مجدد آهن است.

همچنانین طحال نقش مهمی در دفاع میزان (هم ایمنی هومورال و هم سلولی) دارد ولی این نقش الزامی نیست و علت آن سالم بودن افرادی است که اسپلنکتومی شده‌اند.

سیستم رتیکولواندوتیال طحال به علت تولید پروتئین properdin نسبت به کبد بهتر می‌تواند باکتری‌هایی را که به خوبی اسپونزیزه نمی‌شوند را از گردش خون پاک کنند. مثل باکتری‌های کپسول‌دار پنوموکوک و هموفیلوس آنفولانزا.



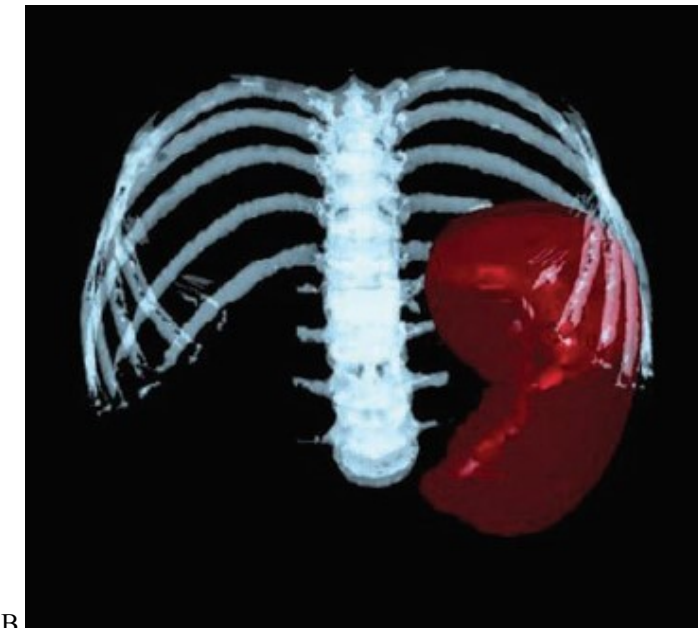


Figure 34-4. Splenomegaly. **A.** Computed tomography (CT) scan. **B.** Three-dimensional reconstruction of CT scan. **C.** Postoperative specimen.

تعریف اسپلنومگالی:

وزن طحال ≤ 500 گرم یا طول طحال ≤ 15 cm نشان دهنده اسپلنومگالی است.

سارکومهای بافت نرم

فصل ۳۶

Section36
Schwartzs 2019

رفنس امسال برای فصل سارکوم فقط شوارتز است ولی چند نکته مهم از ساپیستون ۲۰۱۷ هم در این فصل آورده شده که کاملاً مشخص است.

شایع‌ترین محل سارکومهای اولیه بافت نرم اندام فوقانی و تحتانی است (۵۰٪ موارد) - در پروگزیمال اندام بیشتر از دیستال است. بعداً به ترتیب در تن، رتروپریتوئن، سر و گردن می‌باشند.

شایع‌ترین نوع بافت‌شناسی سارکوم بافت نرم در بالغین (به جز سارکوم کاپوسی)، هیستوسیتوم فیبروز بدخیم (MFH) است. انواع دیگر شامل لیپوسارکوم، لیومیوسارکوم، سارکوم سینوویال، بدخیمی غلاف عصب می‌باشد.

شایع‌ترین سارکوم بافت نرم در اطفال: رابدومیوسارکوم است.

شایع‌ترین علت مرگ در اثر سارکوم: متاستاز به ریه است که ۸۰٪ موارد طی ۲-۳ سال اول پس از تشخیص اتفاق می‌افتد.

نکته: امروزه به جای MFH از اصلاح سارکومهای unclassified یا undiff pleomorphic استفاده می‌شود.

اپیدمیولوژی:

ریسک فاکتورهای سارکوم:

۱. رادیوتراپی: اغلب در سارکومهای مرتبط با موتاسیون ژن P53 دخیل است.

شایع‌ترین سارکومهای مرتبط با رادیوتراپی: سارکوم استئوژنیک، MFH، آنثیوسارکوم، لنفانژیوسارکوم، آنثیوسارکوم، لیومیوسارکوم، فیبروسارکوم، MPNST است.

در مطالعات در موارد سارکوم پلئومورفیک تمایز نیافته اسپورادیک در مقایسه با نوع مرتبط با رادیاسیون، میزان عود موضعی و کاهش سوروایوال در گروه مرتبط با رادیاسیون بیشتر است.



۲. مواد شیمیایی شغلی:

اسید فنوكسی استیک، نگهدارنده چوب حاوی کلروفنول‌ها.
توروتراست، کلرید وینیل و آرسنیک با آژئیوسارکوم کبد مرتبط هستند.

۳. تروما:

ارتباط بین سارکوم و تروما ثابت نشده است و معمولاً یک جراحت خفیف توجه را به سوی توموری که از قبل وجود داشته جلب می‌کند.

۴. لنف ادم مزمون: ریسک فاکتور ایجاد لنفانژیوسارکوم است.

۵. فاکتورهای ژنتیکی:

در اثر ترانس لوکاسیون، آمپلیفیکاسیون، موتاسیون‌های انکوژنیک، آرایش مجدد پیچیده ژنی ایجاد می‌شود.

در GIST: موتاسیون در ژن گیرنده تیروزین کیناز KIT ۱۱ یا ۹ و یا رسپتور آلفای فاکتور رشد پلاکتی

در اغلب سارکوم‌ها ۲ ژن سرکوبیگر تومور (ژن Rb و ژن P53) غیرفعال می‌شوند.

موتاسیون ژن Rb باعث رتینوبلاستوم در اطفال می‌شود و این افراد در سال‌های بعد مستعد سارکوم‌ها هستند.

در موتاسیون P53 (سندروم لی فرامنی): احتمال سارکوم‌ها بیشتر است به خصوص رابدومیوسارکوم و سارکوم تمایز نیافته و پلئومورفیک.

موتاسیون در ژن NF-1: باعث بیماری NF-1 می‌باشد که این افراد مستعد سارکوم‌های بدخیم غلاف عصب محیطی و GIST هستند.

موتاسیون در ژن APC: باعث بیماری FAP و سندروم گاردنر می‌شود که تومور دسموئید دارند.

سندروم **stewart tereves**: بروز آژئیوسارکوم بعد از لنف ادم به دنبال ماستکتومی است و معمولاً ۱۰

سال بعد درمان رادیوترواپی اولیه ایجاد می‌شود. (سابیستون ۲۰۱۷)



Figure 36-1. A 57-year-old with a chronic, progressive lymphedema of the left upper extremity developed lymphangiosarcoma 10 years after breast cancer treatment.

ارزیابی اولیه:

روشن اصلی متابستاز در سارکومها از طریق خون بوده و به ریه است.

متاستاز لنفاوی نادر است (۰.۵٪ موارد) در تعداد کمی مثل سارکوم اپیتیلیئید، رابdomiosarکوم اطفال، سارکوم clear cell و موارد نادری از سارکوم سینوویال و میکروفیبروسارکوم، آنژیوسارکوم، MFH و لیپوسارکوم اتفاق می‌افتد.

تظاهرات بالینی:

معمولًاً به صورت توده بدون علامت است. گاهًا پس از ترومما، توده کشف می‌شود. سارکومهای پروگریمال اندامها و رتروپریتوئن اغلب بزرگ هستند در حالیکه سارکوم در دیستال اندامها اغلب کوچکترند.

گاهًا به صورت DVT تظاهر می‌یابد.

سارکوم رتروپریتوئن به صورت توده بزرگ بدون درد ظاهر می‌شود. به ندرت علائم انسداد گوارشی یا فشار به اعصاب کمری و لگنی مشاهده می‌شود.

- سارکوم بافت نرم در حالت centrifugal رشد می‌کند و منجر به ایجاد اثر فشاری روی نسوج اطراف می‌گردد.



در کل هر تومور بافت نرم در حال رشد یا بزرگ‌تر از ۵ سانتی‌متر یا عمیق‌تر از فاشیا باید تحت بررسی کامل با شرح حال، تصویربرداری و بیوپسی قرار گیرند.

تشخیص افتراقی که سارکوم بافت نرم را تقلید می‌کند در جدول زیر آورده شده است. (سایسیستون)

(۲۰۱۷)

BOX 31-1 Entities That May Mimic Soft Tissue Sarcoma

- Hypertrophic scar
- Retroperitoneal lymphadenopathy: lymphoma, germ cell tumor, or metastasis from gastrointestinal primary
- Hematoma
- Myositis ossificans
- Benign lipoma
- Cyst
- Abscess
- Cutaneous malignant neoplasms, including melanoma

اقدامات تصویربرداری:

تصویربرداری باید قبل از بیوپسی و اقدامات تهاجمی انجام شود.

گرافی ساده: زیاد کمکی نمی‌کند مگر اینکه استخوان مجاور سارکوم درگیر شده باشد.

سونوگرافی:

در بیمارانی که امکان انجام MRI ندارند، کمک کننده است - برای تعیین ساختارهای عروقی مجاور و هدایت و فالوآپ بعد از عمل کاربرد دارد.

اسکن CT:

برای تشخیص متاستاز ریوی
برای بررسی سارکوم‌های رتروپریتوئن، شکم و لگن

۱. اندیکاسیون CT اسکن ریه: در تمام موارد سارکوم با گردید بالا و بزرگ‌تر از ۵ cm
۲. اندیکاسیون CT اسکن شکم و لگن:

در لیپوسارکوم میگزوئید راندل، لیومیوسارکوم، اپیتلیوئید سارکوم، آنژیوسارکوم اندام‌ها به علت تمایل زیاد به متاستاز شکمی و لگن باید CT شکم لگن انجام شود. سی‌تی برای ارزیابی سارکوم‌های رتروپریتوئنال و

جدار شکم، امنوم و صفاق

فصل ۳۵

Section35
Schwartzs 2019

آناتومی:

جدار شکم از ۹ لایه تشکیل شده است: پوست، زیرجلد، فاشیای سطحی، عضله مایل خارجی، عضله مایل داخلی، عضله عرضی شکم، فاشیا ترانسورسالیس، چربی پری پریتونئال، پریتونئوم. بافت زیرجلد با بافت چربی سطحی ملحق شده و فاشیای campers را می‌سازد. در عمق این فاشیا اسکارپا قرار دارد که شامل ماتریکس فیبروز بافتی است که به لایه قدامی فاشیا در پوست و پهلو چسبیده است.

عضلات جدار شکم شامل رکتوس آبدومینیس در مدیال، مایل داخلی و خارجی و عضله عرضی در لترال است.

دو عضله رکتوس توسط لینه آلبა از هم جدا می‌شوند. منشأ عضلات رکتوس از سمفیز پوبیس و crest است و به زائد گزیفوئید، دندوهای ۵ و ۶ و غضروف دندوهای هفتم متصل می‌شود. سه تقاطع تاندونی از عرض عضلات رکتوس عبور می‌کند.

عضله مایل خارجی از دنده هشتم شروع شده و به سمت مدیال رفته، به لینه آلبَا و قدام ایلیاک کرست متصل می‌شود. مسیر الیاف عضلانی به سمت مدیال و پایین است.

عضله مایل داخلی از فاشیای توراکولومبار منشأ می‌گیرد. الیاف این عضله به سمت بالا و قدام حرکت کرده و به لبه دندوهای تحتانی و زائد گزیفوئید متصل می‌شود.

عضله ترانسورسالیس:

عمقی‌ترین لایه عضلانی است که از لبه دندوهای و فاشیای لومبار شروع شده به صورت افقی و قدامی طی مسیر کرده به لینه آلبَا، زائد گزیفوئید و سمفیز پوبیس متصل می‌شود.

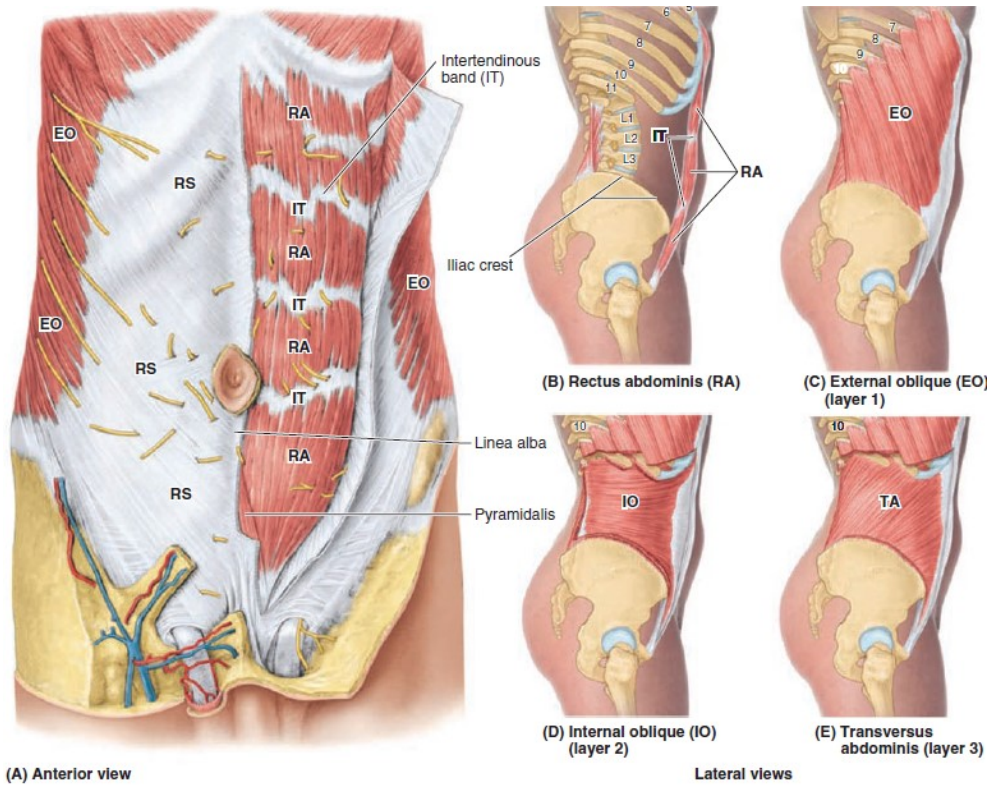


Figure 35-1. Muscles of the anterior abdominal wall. **A.** The anterior abdominal wall musculature is shown with the rectus sheath reflected on the left side. **B.** Rectus abdominis. **C.** External oblique. **D.** Internal oblique. **E.** Transversus abdominis.

این عضلات با همدیگر یک غلاف آپونوروز قدامی ایجاد می‌کنند. این آپونوروز شیت قدامی و خلفی رکتوس را تشکیل داده و در نهایت در میدلاین به هم متصل شده و لینه آلبای را تشکیل می‌دهند. شیت رکتوس در بالا و پایین خط قوسی متفاوت است. شیت قدامی آن در تمام طول رکتوس توسط آپونوروز مایل خارجی پوشانده می‌شود.

غلاف عضله مایل خارجی ۲ لایه شده و شیت قدامی و خلفی رکتوس را در بالای خط قوسی می‌سازد.

غلاف عضله عرضی شکم در بالای خط قوسی قسمت خلفی شیت رکتوس را می‌سازد. در زیر خط قوسی غلاف مایل خارجی، داخلی و عرضی همگی از قدام رکتوس عبور کرده و خلف آن هیچ غلافی ندارد و فقط از فاشیای عرضی شکم در جدار خلفی شکم قرار گرفته است که یک لایه ضعیف فیبروتیک است و بین آن با پریتوئن چربی پره‌پریتوئن قرار گرفته است.

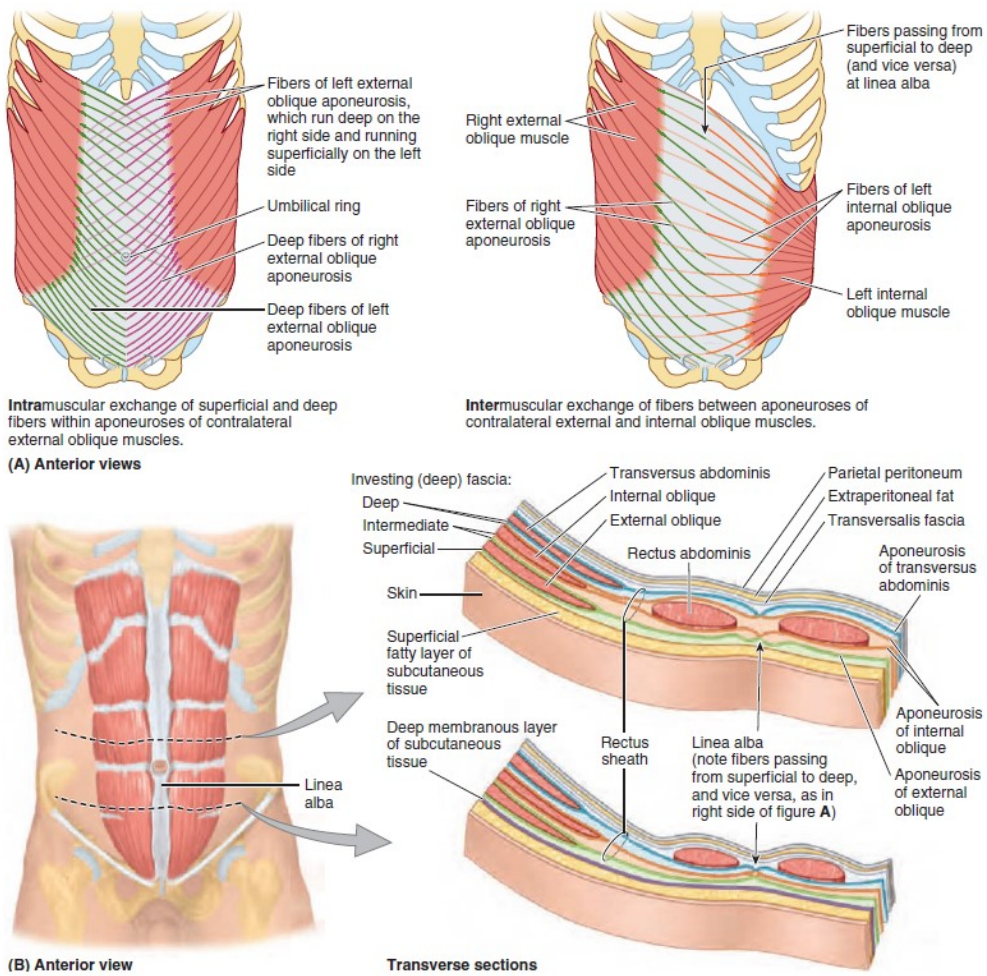


Figure 35-2. Fiber direction and cross-sectional anatomy of the abdominal wall. **A.** Muscular and aponeurosis fiber direction of external and internal obliques. **B.** Cross-sectional anatomy of the anterior abdominal wall above and below the arcuate line. The posterior leaf of the rectus sheath exists above the arcuate line. Below this line, all aponeurotic sheaths converge and travel anterior to the rectus muscles, leaving the posterior rectus uncovered by a fascial layer.

در سطح خلفی دیواره شکم چین‌هایی وجود دارند که در اثر عروق زیر آن یا بقایای جنبی است. چین نافی میانی در اثر بقایای اوراکوس است که از dome مثانه به ناف در میدلین کشیده می‌شود، ایجاد می‌شود.

چین‌های مدیال دوطرفه در اثر بقایای شریان‌های امبليکال ایجاد می‌شود. چین‌های لترال مربوط به عروق اپیگاستریک تحتانی است.